## Доклады Академии наук СССР 1973. Том 211, № 1

УДК 536.425

## ФИЗИЧЕСКАЯ ХИМИЯ

А. А. ЖУКОВ, Л. Е. ШТЕРЕНБЕРГ, В. Д. КАЛЬНЕР, В. А. ШАЛАШОВ, Н. А. БЕРЕЗОВСКАЯ, В. К. ТОМАС, Р. Л. СНЕЖНОЙ

## ДИАГРАММА СОСТОЯНИЯ СИСТЕМЫ ЖЕЛЕЗО — АЛМАЗ

(Представлено академиком Л. Ф. Верещагиным 26 II 1973)

Длительное время оставался открытым вопрос о виде диаграммы метастабильного равновесия железо — карбиды железа в зацементитной ее части. Выплавить и изучить соответствующие сплавы было практически невозможно из-за быстрой их графитизации. Диаграммы состояния Fe—C, соответствующие высоким давлениям, вплоть до давлений стабилизации алмаза предложены в работах (¹, ²). Некоторые экспериментальные данные получены в процессе исследований алмазообразования при высоких давлениях в присутствии железа как катализатора. В частности, было показано, что при содержании в Fe—C-системе свыше 30 ат.% С начинается процесс образования алмаза (³). Поскольку цементит содержит 25 ат.% С, оставался неясным фазовый состав систем, содержащих 25—30 ат.% С.

В исследовании ( $^4$ ,  $^5$ ) показано, что этот интервал соответствует подсистеме  $Fe_3C-Fe_7C_3$ . Условия синтеза карбида  $Fe_7C_3$  описаны в ( $^4$ ). Ниже приводятся дополнительные сведения об этой системе, полученные методами оптической и электронной (растровой) микроскопии, рентгенострук-

турного и локального рентгеноспектрального анализа.

На рис. 1a показан участок микрошлифа, на котором хорошо видно, что шестигранные кристаллы избыточной фазы  $Fe_7C_3$  имеют в основном одинаковую ориентацию. Сильная кристаллизационная текстура обнаружена также на рентгенограммах. Этот эффект наблюдался ранее при синтезе цементита ( $^6$ ) и приписывался росту неизотропных по свойствам кристаллов в условиях не вполне квазиизотропного всестороннего сжатия.

Фотографии микроструктуры получены на растровом электронном микроскопе «Стереоскан». На рис. 16 и в видны избыточные шестигранцые кристаллы карбида железа  $\mathrm{Fe_7C_3}$  и эвтектика  $\mathrm{Fe_3C-Fe_7C_3}$ , имсющая в основном пластинчатое строение (б), а также участки с сотовидным строением (в). Кроме того, на рис. 1в можно наблюдать, что пластинку  $\mathrm{Fe_7C_3}$  эвтектики и избыточные кристаллы  $\mathrm{Fe_7C_3}$  образуют одпу непрерывную фазу. На рис. 16 хорошо видно, что отдельные шестигранцые кристалды  $\mathrm{Fe_7C_3}$  имеют ободок из эвтектического карбида, который нарос в процессе

эвтектического превращения.

Проведенный рентгеноструктурный анализ в камерах РКД и РКУ-114 на установке для рентгеноструктурных исследований УРС-60 в хромовом  $K_{\alpha}$ -излучении показал, что в исследованном заэвтектическом сплаве присутствуют только две фазы — цементит и карбид  $\mathrm{Fe_7C_3}$  при преобладащии последнего по количеству \*. Зарегистрированные на рентгенограммах интерференции карбида  $\mathrm{Fe_7C_3}$ : (311), (321), (102), (112), (202), (511), (222), (431), (412), (531), их относительная интенсивность и данные межилоскостных расстояний показали, что кристаллическая решетка очень близка к решетке  $\mathrm{Cr_7C_3}$ .

<sup>\*</sup> Обнаружены также одна линия графита (непрореагировавший углерод) и одна линия  $Fe_3O_4$ . Очевидно, кислород проникает в систему при баротермической обработке вследствие большой его растворимости при высоких давлениях, обусловленной сдвигом равновесия реакции  $[C] + [O] \rightleftharpoons \{CO\}$  влево.



Рис. 1. Микрофотографии заавтектического сплава, полученные: a — на оптическом микроскопе (1000 $\times$ ); b, b — на растровом электронном микроскопе «Стереоскан», с участками эвтектики  ${\rm Fe_3C-Fe_7C_3}$  с иластиичатым (b — 2400 $\times$ ) и сотовидным строением (b — 2100 $\times$ )

Исследование, проведенное на рентгеновском микроанализаторе CAMECA MS46, показало, что содержание углерода в избыточных карбидах  $\mathrm{Fe_7C_3}$  составляет 8,0-8,3 масс. % (при стехнометрическом составе, соответствующем 8,4 масс. %). Эталонами по углероду служили крупные пластины заэвтектического цементита в сплавах, содержащих 5-6 масс. % С ( $^6$ ).

Приведенные данные свпдетельствуют о том, что новая эвтектика действительно состоит из двух упомянутых карбидных фаз и является следующей после ледебурита в изучаемой диаграмме. Согласно (4, 5), температура ее плавления при 80 кбар равна примерно 1400°. Полученные данные были экстраполированы до атмосферного давления, что позволило построить в первом приближении диаграмму метастабильного равновесия желе-

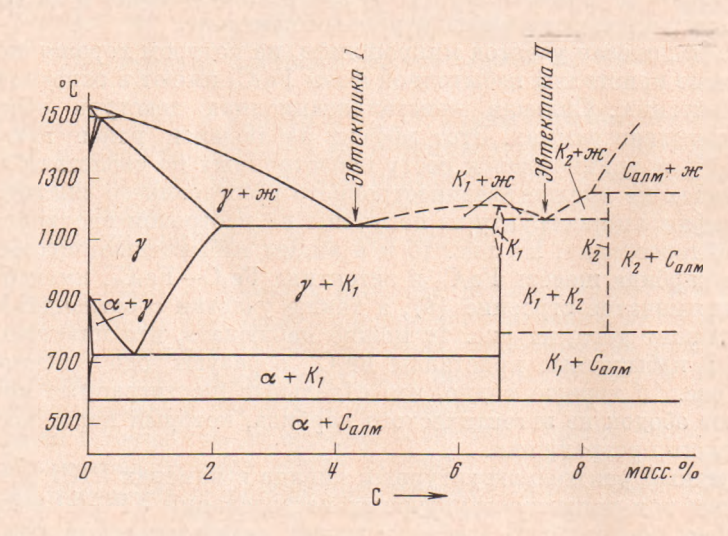


Рис. 2. Предложенный вариант левого угла диаграммы состояния железо— алмаз при атмосфериом давлении

30 — алмаз при атмосферном давлении (рис. 2). При этом авторы вполне отдают себе отчет в том, что такая экстраполяция может быть не правомерной в ряде областей диаграммы п на ней могут появиться другие зацементитные карбиды железа (Fe<sub>20</sub>C<sub>9</sub> и др.). Кроме того, нельзя считать решенным вопрос о наличии открытого максимума, соответствующего точке плавления цементита. Однако именно такой тип диаграммы получен в работах Хиллерта и Стронга, обсужденных в статьях (7-10). Не решен также вопрос о наличии или отсутствии открытого максимума у карбида Fe<sub>7</sub>C<sub>3</sub>.

В соответствии с расчетами, приведенными в статье (11), на рис. 2 показан фазовый переход  $\alpha Fe + Fe_3 C = \alpha Fe + C_{a_{DMA3}}$  при  $\sim 580^\circ$ . Это иллюстрирует то обстоятельство, что при температурах ниже  $580^\circ$  алмаз становится стабильнее цементита и по степени отдаления от стабильного равновесия железо — графит метастабильные состояния в системе железо — углерод располагаются в следующем порядке:

$$(\alpha Fe + Fe_xC) \rightarrow (\alpha Fe + Fe_3C) \rightarrow (\alpha Fe + C_{\text{алмаз}}) \rightarrow (\alpha Fe + C_{\text{графит}}),$$

где Fe<sub>\*</sub>C — карбиды железа нецементитного типа.

Авторы выражают благодарность акад. Л. Ф. Верещагину, В. К. Григоровичу и В. Н. Слесареву за постоянный интерес к работе.

Институт физики высоких давлений Академии наук СССР Академгородок Подольского р-на Моск. обл. Поступило 8 II 1973

Завод-втуз при Московском автомобильном заводе им. И. А. Лихачева

## цитированная литература

<sup>1</sup> В. К. Григорович, Изв. АН СССР, Металлы, № 1, 53 (1969). <sup>2</sup> Н. М. Strong, R. М. Сhrenko, J. Phys. Chem., 75, № 12, 1838 (1971). <sup>3</sup> Л. Ф. Верещагин, Л. Е. Штеренберг, В. Н. Слесарев, ДАН, 192, № 4, 768 (1970). <sup>4</sup> А. А. Жуков и др., Изв. АН СССР, Металлы, № 1, 181 (1973). <sup>5</sup> А. А. Zhukov et al., Асta metallurgica, 21, 195 (1973). <sup>6</sup> А. А. Жуков и др., Сборн. Диаграммы состояния металлических систем, «Наука», 1971, стр. 152. <sup>7</sup> М. Hillert, In: Recent Research on Cast Iron, 1968, p. 101. <sup>8</sup> М. Hillert, V. V. Subba Rao, Iron and Steel Inst. Publ., P. № 110, 1968, p. 204. <sup>9</sup> R. J. Brigham, G. R. Purdy, J. S. Kirkaldy, In: Crystal Growth, 1967, p. 161. <sup>10</sup> R. J. Brigham, G. R. Purdy, J. S. Kirkaldy, J. Phys. Chem. Solids, Suppl., 1, 161 (1967). <sup>11</sup> A. A. Zhukov, R. L. Snezhnoi, Acta metallurgica, 21, 199 (1973).